

Fe-Cr-N 系状態図について*

岡本正三**・内藤武志***

The Phase Diagram of The Fe-Cr-N System.

Masazō OKAMOTO and Takeshi NAITŌ

Synopsis:

The tentative phase diagram of an Fe-Cr-N system in the composition range of 12 to 60% Cr, N up to about 2% at the partial pressure of nitrogen in air has been constructed by thermal analyses of Fe-Cr-N alloys which contained less nitrogen in the previously reported experimental formula $[Cr] = 32.9 \log [N] + 42.5$, and X-ray analyses as well as microscopic examinations. Besides molten alloys, Fe-Cr-N alloys were prepared by the nitrogen-absorption at 1250°C and at one atmospheric pressure of pure nitrogen, and their structures have been examined. The denitrogenization of the nitrogen-absorbed alloys during the heating in the vacuum has also been clarified. The results are summarized as follows.

(1) It was presumed from the study of the heterogeneous equilibrium of the Fe-Cr-N system that a peritectic reaction $L + \delta \rightleftharpoons \gamma$ exists in the Fe-rich melt of the Fe-N system as seen in that of the Fe-C system, and it was also assumed that a eutectic reaction $L \rightleftharpoons \delta + Cr_2N$ exists in the range up to 11.6%N at Cr_2N in the Cr-N system.

(2) The peritectic reaction at the Fe-N alloy-side lowers the temperatures as the Cr content in the melt increases, and the eutectic reaction at the Cr-Cr₂N alloy-side also decreases the temperatures as the Fe content in the melt increases. The above two mono-variant reactions meet at the point s in Fig. 1, which is found to exist at 16%Cr and 0.9%N and at 1328°C, and a peritecto-eutectic reaction $L + \delta \rightleftharpoons \gamma + Cr_2N$ is formed, the composition range of the non-variant reaction being in the hatched area formed by the following four points: q(δ), u(γ), s(L) and Cr₂N.

(3) It is presumed from x-ray diffraction analyses of alloys quenched immediately after their solidification that Cr_2N does not dissolve Fe, Cr or N; the nitride primarily separated from melts may be shown as the simple form of Cr_2N .

(4) When Fe-Cr alloy sheets are heated at 1250°C at one atmospheric pressure of nitrogen, the higher the chromium content of the alloys, the more the nitrogen-absorption and the shorter the time for the saturation of the absorbed nitrogen.

(5) When Fe-Cr alloys in the composition range of 12 to 40%Cr are nitrogen-absorbed at 1250°C, austenite is formed irrespective of the concentration of chromium in the alloys, and the phase containing chromium up to 23% decomposes into martensite on quenching and decomposes into $\alpha + Cr_2N$ on slow cooling to room temperature, while the austenite containing above 23% Cr is retained as austenite without being decomposed by water-quenching from high temperatures.

(6) Nitrogen-absorbed Fe-Cr-N alloys are denitrogenized by heating in the vacuum, the degree being less in higher chromium alloys.

(Received 20 May, 1963)

I. 緒 言

周知のようにステンレス鋼および耐熱鋼の合金元素として Cr 濃度の高いことは必要かくべからざることである。また、これらの鋼で N もまた有用な添加元素である。著者の一人は無炭素あるいは低炭素の高 Cr 鋼における N の作用について一連の研究を行つてきた¹⁾が、ここではこれら合金鋼の組織の基礎的問題として Fe-Cr-N

系状態図の検討を試み、一応の結果を得たことについて報告する。

最初 Fe-Cr-N 系合金の状態変化を Cr% の少いところを含めて溶融合金の高温度より低温度まで追求しよう。

* 昭和38年4月本会講演大会にて発表
昭和38年5月20日受付

** 東京工業大学、工博

*** (株)小松製作所栗津工場

と試みたのであるが、NはCの場合と異なり、周囲のN₂の分圧に左右せられて合金中に滲窒あるいは脱窒する傾向がある^{2)~5)}。従来のFe-N系状態図⁶⁾にしても、それは温度、圧力および濃度の平衡図における種々の固相の平衡を温度と濃度との面に投射したものであつて、この図はN₂の分圧を無視して考えることは出きないものである。Fe-Cr-N系異相平衡についても同様であつて、これを一般の合金状態図のごとく圧力の変化が系の平衡状態に対してほとんど影響を与えることのみなすことにはできない。すなわち、この合金系は凝縮系としての考えに少しづつ修正を加えた取あつかいをせねばならない。

ここでは実用上の便宜を考慮して、先の[Cr]=32.9 log[N]+42.5なる実験式⁷⁾を満足する[N]以下の組成範囲の合金について大気中のN₂分圧下で融液より凝固を終るまでの温度範囲における熱分析を詳細に行ない、その結果を組織変化と対応せしめて凝固過程の相変化の大要を明らかにした。ついで普通の溶解と凝固とではδ固溶体の晶出などのために気泡のない固体とすることはできないような高窒素の合金を得るために、厚さ0.23mmのFe-Cr合金の圧延板を1気圧の純粋窒素のなかで1250°CでNを吸収せしめ、これにより大気中の高温度でほとんど滲窒も脱窒も起らない安定にしてかつ高窒素のFe-Cr-N合金を作り⁸⁾その組織を調べ、相の組成範囲とその安定度とを明らかにした。したがつてここに用いた試料の組成範囲はCr12~60%, N約2%までである。最後に合金化したNの脱窒についても検討した。

II. 試料と実験方法

原料には電解鉄、電解クロム(Cr 99.26, Si 0.01, C 0.016, P 0.002, S 0.002, Fe 0.09, Cu 0.001, Pb 0.002, Al 0.009, N 0.028, H 0.008)を用い、Nの添加には窒化フェロクロム(C 0.074, Si 0.28, P 0.022, S 0.003, Al 0.19, Cr 60.82, N 1.545)を使用し、溶解はタンマン炉で大気中アルミナ製容器を用いて急速に行なつて、普通の熱分析を行なつた。なおNを添加しない合金でも原料金属と大気からNが少量合金化することを避けることは不可能であるがその程度は最大約0.02%までである。これらの溶解した合金を凝固直後水冷した状態および前述のN吸収処理を施した状態のものについて組織検査とX線回折試験を行なつた。また精密な熱天秤を用いてあらかじめN吸収せしめてあるFe-Cr-N合金を真空中で加熱してその脱窒挙動を調べた。

III. 結果とその考察

1. 三元系を構成する各二元系状態図

Fe-Cr-N三元系を構成するFe-Cr, Cr-N, Fe-Nの各二元系状態図は最近のM. HANSENの集録したもの⁹⁾を参考にし、それを再検討して推定した。Cr-N二元系では状態図として見るべきものがないが、著者の一人と宮川とは先に純Cr粉末を1気圧のN₂中で窒素吸収せしめその吸収温度の相違によって生成する窒化物の種類を組織検査とX線回折とによって明らかにした¹⁰⁾。それによつて1気圧のN₂と平衡する系合金においてはNの固溶度のほとんどないCrとCr₂N(11.6wt%N)との間に共晶型二元系が成立つと推定した。またFe-N系のFe側の融液に関する異相平衡は求めることができなかつたが、Fe-Cr-N三元異相平衡の検討よりして、この二元系にはFe-C系にみるように、L+δ·Fe↔γ·Feの包晶反応が存在するものとみなした。

2. Fe-Cr-N系合金の異相平衡

1気圧のN₂中で1600°Cの溶鉄に対するNの溶解度はわずかに0.045%程度でありかつδ鉄への溶解度はそれよりもさらに少い¹⁰⁾¹¹⁾。しかしFe-Cr合金の溶相ならびに固相におけるNの溶解度はFe-N系合金のそれよりも大きくなる¹²⁾。詳細な熱分析と凝固直後水冷した試料の組織検査とから、ここに調べた組成範囲のFe-Cr-N合金の融液から初晶出する相はいづれもδであつて、γあるいはCr₂Nを初晶とするものは見出せないことを知つた。Fig. 1で界域pseより左のところは初晶δ、その右下方は初晶γ、またその右上方は初晶Cr₂Nを晶出する。低CrのFe-Cr-N合金では溶融合金中のN%の増加によりδの初晶出温度を低下するとともにL+δ→γなる一変系包晶反応温度を降下することを見出した。またCr%の低いものはL+δ+γの反応で凝固を

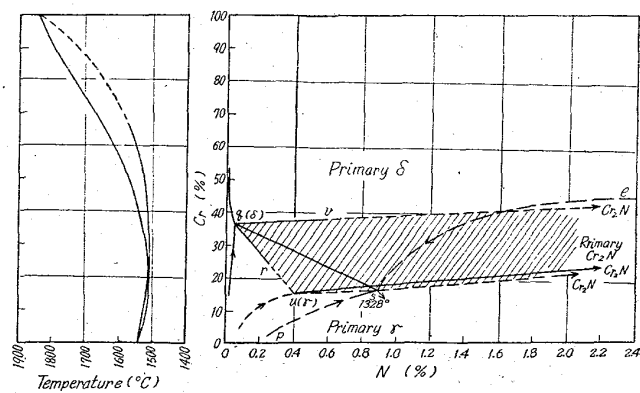


Fig. 1. The tentative diagram of the Fe-Cr-N system.

完了する。 $L + \delta \rightarrow \gamma$ なる一変系包晶反応線は Fig. 1 で ps 線で示されている。一方、Cr-Cr₂N 系側の合金に Fe が入るときの $L \rightarrow \delta + Cr_2N$ なる一変系共晶反応線 es は Fe% の増加で温度を降下するとみられる。その根拠はつぎに記す四相平衡不变系反応の存在を確めたことによつている。すなわち、ps 線と es 線とは Fig. 1 に見るごとく s 点に会合して、1328°C で $L_s + \delta_q \rightleftharpoons \gamma_u + Cr_2N$ なる包共晶反応を生ずることである。この不变系反応にあづかる各相の組成をみると、融液 L_s は 16%Cr, 0.9%N; δ_q は 37%Cr, 0.05%N; γ_u は 15%Cr, 0.4%N; また Cr_2N は 11.6%N である。図中 hatch した部分はこの不变系反応の拡がる組成範囲であつて、 $\delta + \gamma + Cr_2N$ の領域と $\delta + Cr_2N$ の領域との境界線 qv を求めるとき、その延長は Cr_2N の組成によく一致する。大気中で気泡を生じないで固化する合金の N % に限界があることは前に述べた通りで、そのため s 点は直接にこれを求めることはできない。s 点の位置は N% あるいは Cr% を一定にとつた切断図より qs 線の方向を決定し、この線上にあつてかつ $\delta + \gamma$ と $\delta + \gamma + Cr_2N$ との境界線 qr の延長線上にある u 点と Cr_2N の組成を示す点とを結ぶ直線よりも Cr% のわずかに少い位置として推定した。さらに X 線解析によつて相の種類の確認を行なつた。主として凝固直後水冷した合金にみる相の X 線回折図は Fig. 2 に例示する通りである。800°C の異相平衡の詳細は不明であるが、Fig. 2 の $Cr_{20}N_{0.2}$ の回折図より $\gamma \rightarrow \delta(\alpha) + Cr_2N$ の反応の存在することはほぼ明らかである。 Cr_2N で代表される相の固溶範囲を知るために Cr% および N% を異にする三元合金に現われるこの化合物の格子定数をみると、h.c.p. 構造をもつこの窒化物の格子定数はほぼ一定で $a = 2.73 \pm 0.01 \text{ \AA}$, $c = 4.44 \pm 0.01 \text{ \AA}$ である。今日諸家^{4, 12)}の示すところによれば Cr_2N の格子定数の数値は研究者により少しく異なるがその数値は単純な Cr_2N の格子定数 $a = 2.73 \text{ \AA}$, $c = 4.43 \text{ \AA}$ ¹³⁾に近似しているところから、溶解度変化があつてもそれは非常にわずかであるとみられる。この事実と qv 線の延長が Cr_2N の組成上にあることからしてここに現われる Cr_2N には Fe 原子, Cr 原子, N 原子は實際上固溶せぬ単純な Cr_2N であるとみなしてよいと考えら

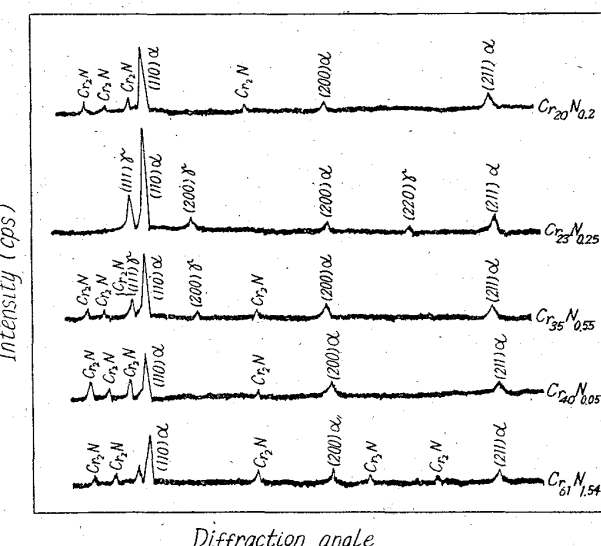


Fig. 2. X-ray diffraction chart of various Fe-Cr-N alloys using Fe-target.
 $Cr_{20}N_{0.20}$ was quenched in water at 800°C after held for 1h. All specimens except $Cr_{20}N_{0.2}$ were quenched immediately after solidified in furnace.

れる。なお、立方晶構造をもつ CrN は認められなかつた。

Photo. 1 は凝固直後水冷した合金の組織の数例である。すなわち、 $Cr_{12}N_{0.12}$ のものは凝固直後は γ 一相であるが、これは冷却中にマルテンサイトに変態する。 $Cr_{35}N_{0.40}$ のものは $\delta + \gamma + Cr_2N$ の三相共存組織で、地は δ 、白い針状相は融液から生じた Cr_2N 、また黒い部分は γ であつてこの γ は温度が降下すると分解する。 $Cr_{40}N_{0.05}$ は $\delta + Cr_2N$ の二相共存を示す。また $Cr_{51.5}N_{2.40}$ は高周波炉で純窒素中 10 気圧 30 分間溶解して

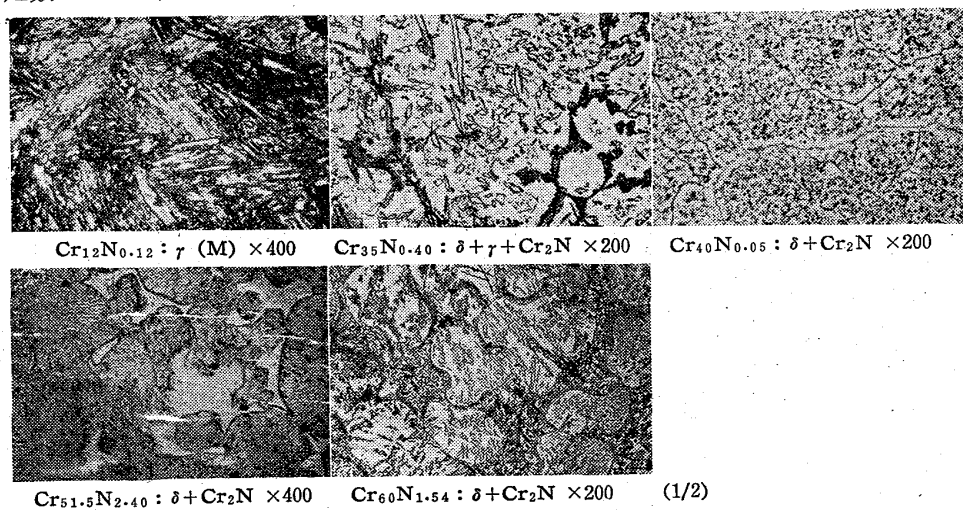


Photo. 1. Microstructures of alloys quenched immediately after solidified in furnace, electrolytically etched in 80% phosphoric acid.

その圧のもので鉄塊とした $\text{Cr}_{51.7}\text{N}_{2.79}$ の合金を大気中で再溶解して後大気中で凝固せしめたものであつて、Nはこの再溶解によつて 2.4%まで減少している。この組成のものでも δ が初晶出しており、二元共晶線 es は N%のさらに高いところにあるとみられる。最後の $\text{Cr}_{60}\text{N}_{1.54}$ は初晶 δ と共晶 $\delta + \text{Cr}_2\text{N}$ となりなつている組織である。熱分析と組織検査の結果とを対応せしめて種々の一定の N%あるいは一定の Cr%における切断状態図を高温度のところで求めるとそれぞれ Fig. 3,

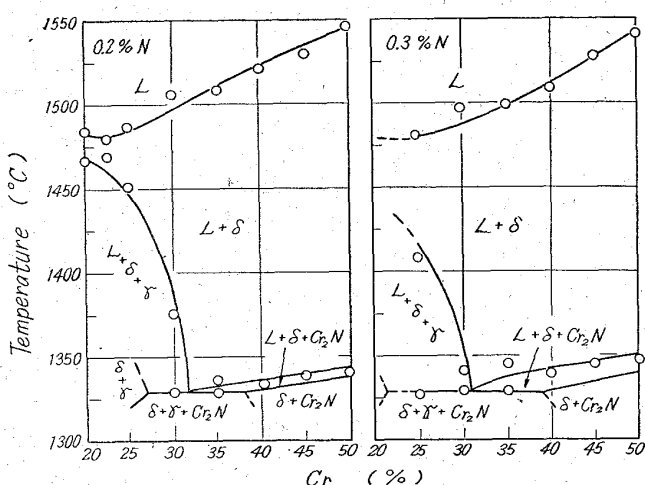


Fig. 3. Sectional diagrams at 0.2%N and 0.3%N.

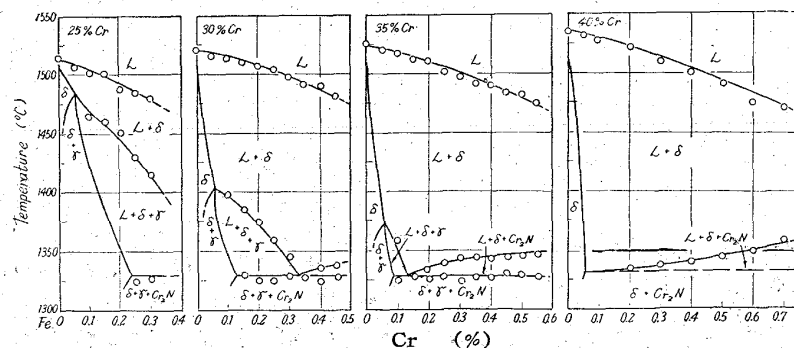


Fig. 4. Sectional diagrams at 25%Cr, 30%Cr, 35%Cr and 40%Cr.

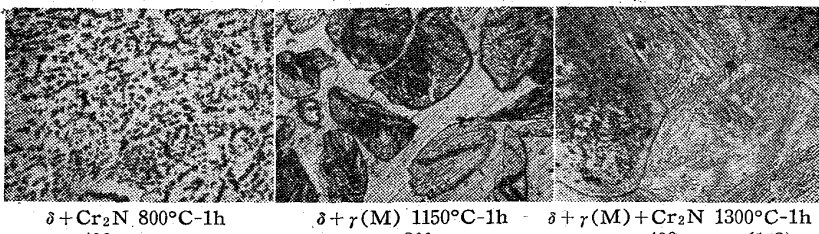


Photo. 2. Microstructures of the alloy containing 20% Cr and 0.20%N water-quenched from various temperatures; electrolytically etched in 80% phosphoric acid.

Fig. 4 に示すごとくなる。

固化後 1000°C で 30% の圧延を施し、種々の温度から水冷した組織を Photo. 2 に示す。この組織にみると、800°C の $\text{Cr}_{20}\text{N}_{0.20}$ は $\delta + \text{Cr}_2\text{N}$ の二相共存である。この試料を 1150°C に加熱して水冷すると $\delta + \gamma$ となる。この組織で γ はマルテンサイトに変態する。これを 1300°C に 1h 保持して水冷すると $\delta + \gamma + \text{Cr}_2\text{N}$ 三相共存組織となる。この組織をみると写真の中で左端および右端の粒は δ と Cr_2N となりなり、中央の二つの粒はマルテン化した γ である。TURKDOGANら¹³⁾およびTISINAIら¹⁴⁾は Fe-Cr-N 合金で高温度における α および γ の相境界を調べているが、その際に窒化物の存在には言及していない。しかし彼らの示す組織の中に窒化物が存在することについては彼らも認めているとみられる。なお筆者らの調べた組成範囲の Fe-Cr-N 合金には NaCl 型構造をもつとせられる CrN を認めていない。

前述したように、Cr 12~22% の範囲で N が合金化限度まで溶解した Fe-Cr-N 合金に現われる γ は高温度から水冷しても大部分がマルテン化する。これに対して Cr 23% 以上を含みかつ N が約 0.2% 以上合金化して生ずる γ は 1250°C ~ 1100°C の高温度からの水冷でそのまま室温にもちきたされ、マルテン化することがない。

3. Fe-Cr 合金の窒素吸収による組織変化

Cr%を異にする Fe-Cr 合金の鉄塊を熱間圧延し焼鈍後さらに冷間圧延して 0.23mm の薄板としてこれを N 吸収せしめた。N 吸収時間による組織変化は Fig. 5 に示すごとく、各 Cr% のものは左方より右方に変化する。N の吸収による Cr% の変化はきわめて小さいから Cr% の変化はないとみなしてよい。この図にみるように固化した後の合金にみる γ 相の安定に存在する組成の範囲は N が入ることによって Fe-Cr 合金の場合よりもいちじるしく拡大されるようになる¹⁵⁾¹⁶⁾。つぎに N 吸収を起させる時間とともに吸収される N% が増すが、その状況は Fig. 6 に示す通りで、加熱前の重量を W、加熱後のそれを W' とするとき $[(W'-W)/W'] \cdot 100$ なる N 吸収率は Cr% の増加で急激に大となる。また N 吸収の飽和は約 1h で達成されるが、Cr% の低い方が飽和に達する時間がわずかに長いようである。なお、この実験では試料は単独試料で各時間毎に炉から引出して N_2 中でかな

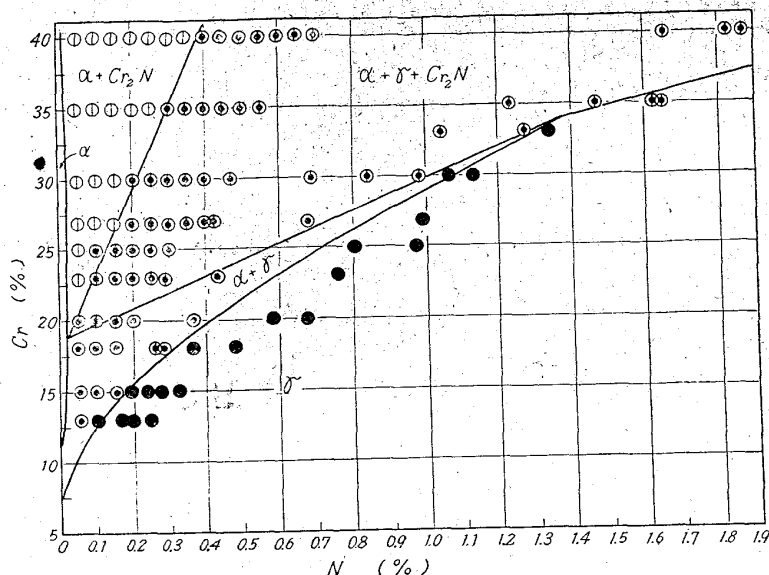


Fig. 5. Structural changes due to the holding time at 1250°C-1atm. N₂ of various Fe-Cr alloys caused by the N absorption.

り急速に冷却している。Table 1 に種々の Cr% の Fe-Cr 合金の 1250°C-2h の N 吸収処理後の N%, 磁気の強さ並びに相の種類を示した。この表にみるとように 20%Cr 以下の Cr% のオーステナイトはそのマルテン化によって強い磁気を示す。また 40%Cr のものでは δ (α) が多量となりこれも強い磁気をもつようになる。23 ~ 35%Cr のものはオーステナイト単相またはこの相が大部分を占めるから磁気は弱い。つぎに、1250°C の N 吸収による組織の変化する状況を Photo. 3 に示す。このうちで Cr₁₈N_{0.27} は 10 分間保持後のもとで δ + γ + Cr₂N の三相からなり、Cr₂N は δ 相と共に黒く現われており γ はマルテン化している。さらに保持時間を 2h に延長すれば N 吸収量は飽和に達し Cr₁₈N_{0.48} となる。このときは γ 単相となるがこの γ 相も室温までにマルテン化する。つぎの Cr₂₃N_{0.76} も 2h 保持で N に飽和した状態の組織であるが、その γ は室温までに分解することはない。また Cr₂₇N_{0.67} は 30 分間 N 吸収を行なわせたもので少量の δ, Cr₂N と γ との三相共存を示す。

Table 1. The intensity of magnetization and the phases due to the absorption of nitrogen of Fe-Cr alloy sheets at 1250°C-2h in 1 atm pure nitrogen.

Cr wt.%	12	15	18	20	23	25	27	30	33	35	40
N wt.%	0.241	0.340	0.480	0.672	0.760	0.971	0.990	1.136	1.326	1.646	1.870
Intensity of magnetization (ferrite indicator %)	15<	15<	15<	15<	1.5>	1.5>	1.5>	1.5>	1.5>	1.5>	15<
Phase	γ (M)	γ (M)	γ (M)	γ (M)	γ	γ	γ	γ	γ	α + γ + Cr ₂ N	α + γ + Cr ₂ N

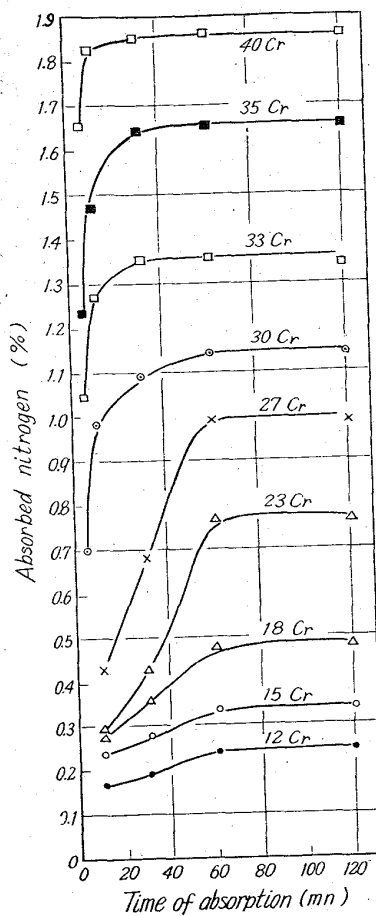


Fig. 6. Absorption of nitrogen in Fe-Cr alloys at 1250°C and at 1 atm N₂ due to the holding time.

す。最後の Cr₃₅N_{1.64} と Cr₄₀N_{1.87} とはいづれも 2h の N 吸収により N に飽和したものの組織で、黒く見える部分はいづれも δ と Cr₂N の共存するところでこれを拡大してみると結節状トルースタイトに似た組織であり、白い素地は γ である。

4. 窒素を吸収せしめたものの脱窒について
N 吸収処理で多量に合金化した窒素は低圧または真空中で容易に逸出する。ここでは 0.23mm 厚の小さな薄板を用い 10⁻⁵ mmHg の真空中で加熱しつつその重量変

化を熱天秤で測定して脱窒の状況をしらべた。Fig. 7はCr₄₀N_{1.87}の場合であるが、約200°C付近から重量の減少が始まり加熱温度の上昇とともにその減少が続く。1100°Cに180分間保持すると保持時間とともに重量は急減する。Cr₁₂N_{0.12}, Cr₂₃N_{0.76}についても同様な結果となる。真空中で加熱するときの脱窒はいちじるしいものがある。ところで、加熱前の重量W, 加熱後の重量W'から脱窒率nを $n = [(W - W')/W] \cdot 100$ で求め、さらにnを加熱前のN%で除して、もとのN%に対する脱窒の割合を求めるTable 2に示すようになる。すなわち、Cr₁₂N_{0.12}は1100°Cまでの加熱でもとのN%の20.8%が脱窒され、1100°C-180分間加熱するともとのN%の90.4%が脱窒される。Cr%の高いCr₄₀N_{1.87}はN%が高いにもかかわらず脱窒率は小である。Cr%が高ければ高いほどその低いものに比べて脱窒は起りにくいといえる。

IV. 総括

先に著者らが得た $[Cr] = 32.9 \log [N] + 42.5$ の実験式を満足する[N]以下のN%をもつFe-Cr-N合金について溶融合金を大気中で徐冷凝固せしめてその間の相変化の大要を熱分析、顕微鏡検査ならびにX線回折によつて明らかにした。またCr濃度を異にするFe-Cr合金の厚さ0.23mm薄板を1気圧のN₂中において1250°CでNを吸収せしめ、その際の組織変化を調べ、さらにこれらのNを吸収したものを真空中で加熱して起る脱窒について検討を加えた。調べた合金の組成範囲はCr12~60%, N約2%までである。結果を要約するとつきの通りである。

(1) Fe-Cr-N系異相平衡の検討によりFe-N系のFeに富む融液に関する異相平衡には、Fe-C系にみるように $L + \delta \rightleftharpoons \gamma$ なる包晶反応が存在すると推定した。また、Cr-N系においてはCr₂NのN 11.6%以下の範囲において $L \rightleftharpoons \delta + Cr_2N$ なる共晶反応が存在するものとみなした。

(2) Fe-N合金側のものにCrが合金化するとき起る包晶反応はCr濃度の増加とともに温度を降下する。一方、Cr-Cr₂N合金側のものにFeが合金化して起る共晶反応はFe濃度の増加とともに温度を降下し、この二つの一変系反応はFig. 1のCr 16%, N 0.9%なるs点で会合して1328°Cで $L_s + \gamma_q \rightleftharpoons \gamma_u + Cr_2N$ なる包共晶反応を生ずる。その包共晶反応の現われる組成の

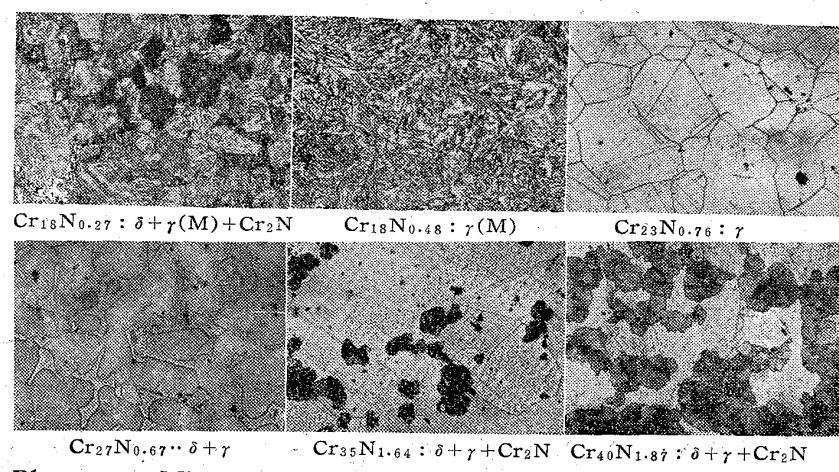


Photo. 3. Microstructures of Fe-Cr-N alloys rapidly cooled in N₂ atmosphere from 1250°C, etched in 15% HCl alcohol solution. ×100 (1/2)

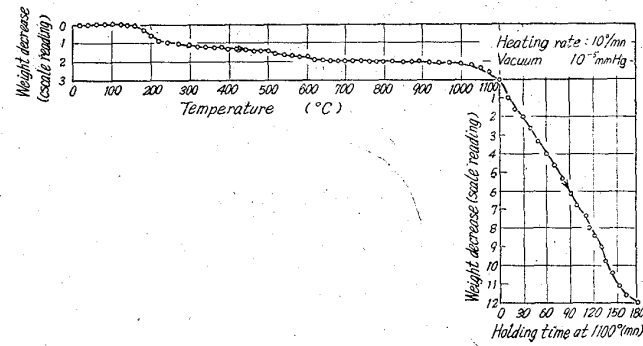


Fig. 7. Weight change during heating at 1100°C in vacuum of the alloy containing 40%Cr and 1.87%N in the form of thin plate having 0.23mm thickness.

Table 2. Denitrogenization % due to the heating in vacuum of 10^{-5} mmHg.

Alloy mark	Heating up to 1100°C	After held for 180mn at 1100°C
Cr ₁₂ N _{0.12}	20.8	90.4
Cr ₂₃ N _{0.76}	18.4	96.9
Cr ₄₀ N _{1.87}	14.3	69.8

領域はFig. 1で δ_q , γ_u , L_s および Cr₂Nの各相でつくる四辺形に拡がると推定した。

(3) 固化後水冷した試料のX線回折図より、融液から生成するクロム窒化物は合金組成が変化してもその格子常数にほとんど変化のない h.c.p. 構造のものであることを認めた。これよりこの窒化物はFe, Cr, Nの諸原子を固溶することのほとんどないほぼ単純なCr₂Nであるとみられる。

(4) Fe-Cr合金の薄板を1気圧のN₂中で1250°CでNを吸収せしめると高Crの合金は低Crの合金よりもN吸収が起りやすく単位時間当たりのN吸収量が多くかつNの吸収飽和に達する時間が短くなる。

(5) Cr 12~40% の組成範囲の Fe-Cr 合金に 1250 °C で N を吸収せしめると Cr 濃度の如何にかかわらず γ が生成する。固体における Fe-Cr-N 合金の γ 単相の安定に存在する組成範囲は融液と平衡する γ 相のそれよりもいちじるしく広くなっているが、その間の異相変化はなお明らかでない。上記の固体における N 吸収で得られる γ は 23% Cr 以下のものでは急冷してもマルテンサイトに分解し、徐冷すれば $\alpha + Cr_2N$ に分解する。しかし 23% Cr 以上のものでは高温度からの水冷で分解することなく、そのまま室温にもちきたすことができる。

(6) N を吸収せしめた Fe-Cr-N 合金を低圧あるいは真空で加熱するときは脱窒を見る。また Cr 濃度が高い合金ほど濃度の低いものよりも脱窒し難い。

この研究に当つて昭和36年度文部省科学研究費の援助を得た。記して厚く謝意を表する。

文 献

- 1) 例えば岡本, 宮川: 鉄と鋼, 46 (1960) 2, p. 157
岡本, 田中, 藤本, 内藤: 鉄と鋼, 48 (1962) 2, 123; M. OKAMOTO, R. TANAKA, T. NAITO and R. FUJIMOTO: Tetsu-to-Hagané Overseas, 2 (1962) 1, p. 25
- 2) 岡本, 宮川, 福留: 鉄と鋼, 47 (1961) 3, p. 548
- 3) 岡本, 内藤: 日本国学会 1963 年春期大会発表

- 4) V. I. ARKKAROV, V. N. KONEV, A. Z. MENSHIKOV: Fiz. metal. metalloved, 7 (1959) 1, p. 58
- 5) E. T. TURKDOGAN and S. IGNATOWIZ: J. Iron. & Steel Inst. (U.K.), 199 (1961), p. 288
- 6) M. HANSEN: Constitution of Binary Alloys, McGraw-Hill Book Co., 1958
- 7) 岡本, 内藤: 日本国学会誌, 25 (1961), p. 120
- 8) 岡本, 宮川: 鉄と鋼, 45 (1959) 6, p. 614
- 9) 宮川, 岡本: 日本国学会誌, 23 (1959) 10, p. 568
- 10) N. S. CORNEY, E. T. TURKDOGAN: J. Iron. & Steel Inst. (U.K.), 180 (1955), p. 344
- 11) ROBERT D. PEHLKE, JOHN F. ELLIOTT: Trans. Met. Soc., Amer. Inst. Min., Met. & Pet. Eng., 218 (1960), p. 1088
- 12) E. T. TURKDOGAN, S. IGNATOWICZ: J. Iron & Steel Inst. (U.K.), 188 (1958), p. 242
- 13) 久保, 加藤: X 線回折による化学分析, 日刊工業昭和30年, 444 頁による
- 14) G. F. TISINAI and C. H. SAMANS: Trans. Amer. Soc. Metals, 51 (1959), p. 589
- 15) E. J. WHITTENBERGER, E. R. ROSENAW and D. J. CASNEY: J. Metals, (1958 July), p. 889
- 16) 盛, 新名, 一瀬, 諸岡: 日本国学会誌, 27 (1963), p. 51